

I-1 中実球のスタンフの近似解析について

北見工業大学 正員 増村 勇

1. 緒 言

等質・等大の2つの球の接触問題は、これを、変形後の1つの球に着目すると、球の表面の一部が剛性平面で圧縮されたスタンフの問題に帰着される。弾性体の接触問題については、古くに、有名な Hertz の理論¹⁾が見受けられ、その後、2つの球の接触問題あるいは球と剛性平面との接触問題に限定しても、Hertz の理論に含まれている仮定の補正あるいは接触面における摩擦の影響などを検討した研究が多数見受けられるようになつた。

Deresiewicz²⁾は、変形前く2次曲面上にあり、た任意点が、変形後も2次曲面上にありと、Hertz の仮定に対する緩和を行い、Goodman³⁾は、粗い表面を持つた2つの球の接触問題における摩擦の効果を検討している。また、Torvik⁴⁾は、なめらかな表面を持つた2つの球の接触問題における近似境界条件の影響を検討している。さらに、粗い表面を持つた球となめらかな剛性平面との接触問題に関しては、Greenwood および Tripp⁵⁾ および Hughes および White⁶⁾などの研究が見受けられる。

本研究は、中実球の粗い表面の一部が、粗い剛性平面で圧縮されたスタンフの解析を近似解法により行い、中実球の応力形状および変形形状を明らかにしたものである。したがって、本研究は、直接的には、中実球の接触問題の解析に寄与するものではないが、前述したように、等質・等大の2つの球の接触問題であれば、変形後はスタンフの問題に帰着されるので、その解析は、接触問題に関する1つの基礎的データを提供するものと思われる。軸対称問題としての中実球、球殻および無限体中の球がの第1種および第2種境界値問題は、3次元弾性論の書物⁷⁾において良く見受けられる所であるが、本研究が課題としている混合境界値問題の解析に関する研究はあまり見受けられないようである。

2. つり合い方程式の解

球座標系 (r, θ, ϕ) における拘束力がない場合のつり合い方程式の解は、軸対称変形に限定すると、次のように表わされる。

第1基本解：

$$2G\mathbf{u}^1 = 2G[u_r^1, u_\theta^1, 0] = \text{grad } \phi \quad \dots \dots \dots \dots \dots \dots \dots \quad (1a)$$

ここで、

$$\nabla_1^2 \phi = 0, \quad \nabla_1^2 \equiv \partial^2/\partial r^2 + (2/r)\partial/\partial r + (1/r^2)\partial^2/\partial\theta^2 + (\cot\theta/r^2)\partial^2/\partial\phi^2 \quad \dots \dots \quad (1b)$$

第3基本解：

$$2G\mathbf{u}^3 = 2G[u_r^3, u_\theta^3, 0] = \text{grad } (\chi r) - k(1-\nu) \chi = \text{grad } (\chi r) - k(1-\nu) [2r, \lambda\theta, 0] \quad \dots \dots \quad (2a)$$

ここで、

$$\chi r = -r \frac{\partial}{\partial r} \int \chi d\theta, \quad \nabla_1^2 \chi r - \frac{\chi r}{r^2 \sin^2 \theta} - \frac{2}{r} \frac{\partial \chi r}{\partial r} = 0 \quad \dots \dots \dots \dots \quad (2b)$$

ただし、式 (1a) および式 (2a) における G および ν は、それぞれ、せん断弾性係数およびアソシ比を表すものとする。求める解は、上の2つの基本解を加えたものであり、次式で表わされる。

$$2G\mathbf{u} = 2G[u_r, u_\theta, 0] = 2G(u^1 + u^3) = 2G[u_r^1 + u_r^3, u_\theta^1 + u_\theta^3, 0] \quad \dots \dots \dots \quad (3)$$

式 (1a) および式 (2a) を解いて変位ポテンシャルを求めると、次の通りである。

$$\phi = \sum_{n=2}^{\infty} r^n A_n P_n(\mu) + \sum_{n=0}^{\infty} D_n r^{-(n+1)} P_n(\mu), \quad \mu \equiv \cos \theta \quad \dots \dots \dots \dots \quad (4)$$

$$\chi r = \sum_{n=0}^{\infty} r^{n+1} (n+1) E_n P_n(\mu) - \sum_{n=1}^{\infty} n C_n r^{-n} P_n(\mu) \quad |$$

$$\lambda_\theta = \sum_{n=0}^{\infty} r^{n+1} E_n P_n^2(\mu) + \sum_{n=1}^{\infty} C_n r^{-n} P_n^2(\mu) = \sum_{n=0}^{\infty} r^{n+1} E_n \sin \theta P_n'(\mu) + \left\{ \dots \right. \\ \left. + \sum_{n=1}^{\infty} C_n r^{-n} \sin \theta P_n'(\mu) \right\} \quad \dots \quad \dots \quad \dots \quad (5)$$

上に示した 3) の変位ポテンシャルは、著者⁸⁾がすでに報告した非軸対称問題に関する変位ポテンシャルの助数および位数 m を 0 と置いた変位ポテンシャルに一致している。 A_n, \dots, C_n は、境界条件によって定められるべき未知定数である。上式の各々の変位ポテンシャルの第 1 項目は内部問題の解および第 2 項目は外部問題の解であるが、本研究においては、外部問題の解は不要であるので、以下では、内部問題の解に限って議論を進める。式 (4) や式 (5) に示した変位ポテンシャルを、それぞれ、式 (1a) や式 (2a) に代入し式 (3) を用いると、変位成分は次のようになる。

$$2G u_r = \sum_{n=2}^{\infty} r^{n-2} A_n n P_n(\mu) + \sum_{n=1}^{\infty} r^{n+1} (n+1)(n-2+4\nu) E_n P_n(\mu) - 2(1-2\nu) E_0 r \quad \left. \right\} \quad \dots \quad \dots \quad \dots \quad (6)$$

$$2G u_\theta = - \sum_{n=2}^{\infty} r^{n-2} A_n P_n^2(\mu) - \sum_{n=1}^{\infty} r^{n+1} (n+5-4\nu) E_n P_n^2(\mu) \quad \left. \right\}$$

また、応力成分は、上の変位成分よりひずみ成分を求め、球座標系における応力-ひずみ関係式を用いると、次のように表わされる。

$$\sigma_{rr} = \sum_{n=2}^{\infty} r^{n-2} A_n n(n-1) P_n(\mu) + \sum_{n=1}^{\infty} r^n (n+1)(n^2-n-2-2\nu) E_n P_n(\mu) - 2(1+\nu) E_0 \quad \left. \right\} \quad \dots \quad \dots \quad \dots \quad (7)$$

$$\sigma_{\theta\theta} = \sum_{n=2}^{\infty} r^{n-2} A_n \{ P_{n-1}'(\mu) - n(n-1) P_n(\mu) \} + \sum_{n=1}^{\infty} r^n E_n \{ (n+5-4\nu) P_{n+1}'(\mu) + \\ - (n+1)(n^2+5n+7-2\nu) P_n(\mu) \} - 2(1+\nu) E_0 \quad \left. \right\}$$

$$\sigma_{\varphi\varphi} = - \sum_{n=2}^{\infty} r^{n-2} A_n P_{n-1}'(\mu) - \sum_{n=1}^{\infty} r^n E_n \{ (n+5-4\nu) P_{n+1}'(\mu) - (n+1)(2n+3) \times \\ \times (1-2\nu) P_n(\mu) \} - 2(1+\nu) E_0 \quad \left. \right\}$$

$$\sigma_{r\theta} = - \sum_{n=2}^{\infty} r^{n-2} A_n (n-1) P_n^2(\mu) - \sum_{n=1}^{\infty} r^n (n^2+2n-1+2\nu) E_n P_n^2(\mu) \quad \left. \right\}$$

3. 線垂直荷重および線せん断荷重が作用したときの解

半径 R_2 の球の表面の $\theta = \theta_L$ と $\theta = \pi - \theta_L$ の円周上に分布する線垂直荷重 P_L を $i(\theta)$ で表わし、 $\theta = \theta_L$ の円周上に分布する線せん断荷重 $P_L \sin \theta$ と $\theta = \pi - \theta_L$ の円周上に分布する線せん断荷重 $-P_L \sin \theta$ を $j(\theta)$ で表わすと、これらの関数は、次式のように展開される。

$$i(\theta) = e_0 + \sum_{n=1}^{\infty} e_n P_n(\mu), \quad j(\theta) = \sum_{n=1}^{\infty} d_n P_n^2(\mu) \quad \dots \quad \dots \quad \dots \quad \dots \quad (8)$$

ここで、

$$e_0 = P_L \sin \theta_L / R_2, \quad e_n = P_L \sin \theta_L (2n+1) P_n(\cos \theta_L) / R_2 \quad \left. \right\} \quad \dots \quad \dots \quad \dots \quad (9)$$

$$d_n = j(\theta_L \sin \theta_L \{ P_{n-1}(\cos \theta_L) - P_{n+1}(\cos \theta_L) \}) / R_2 \quad (n=2, 4, \dots) \quad \left. \right\}$$

したがって、これらが線荷重が作用したときの解は、式 (7) の σ_{rr} および $\sigma_{r\theta}$ に

$$r = R_2 \text{ において } \sigma_{rr} = -i(\theta), \quad \sigma_{r\theta} = j(\theta) \quad \dots \quad \dots \quad \dots \quad \dots \quad (10)$$

の境界条件を課して、未知定数 A_n, E_n, J_n および E_0 を

$$A_n = - \frac{\sin \theta_L}{(n-1) \Delta_n R_2} \left[P_L (2n+1) P_n(\cos \theta_L) (n^2+2n-1+2\nu) - j(\theta_L) \{ P_{n-1}(\cos \theta_L) + \right. \\ \left. - P_{n+1}(\cos \theta_L) \} (n+1)(n^2-n-2-2\nu) \right] \quad \left. \right\} \quad \dots \quad (11)$$

$$E_n = - \frac{\sin \theta_L}{\Delta_n R_2^{n+1}} - 2 P_L (2n+1) P_n(\cos \theta_L) - n j(\theta_L) \{ P_{n-1}(\cos \theta_L) - P_{n+1}(\cos \theta_L) \} \quad \left. \right\}$$

$$E_0 = \frac{P_L \sin \theta_L}{2(1+\nu) R_2}, \quad \Delta_n = 2 \{ n^2+n+1+\nu(2n+1) \} \quad (n=2, 4, \dots) \quad \left. \right\}$$

と求め、これらを式(17)に代入することにより得られる。応力状態が $\theta = 0$ に関して対称であるので、以下では、 $0 \leq \theta \leq \pi/2$ において考えることにする。いま、球の表面の $0 \leq \theta < \theta_0$ の区間に線垂直荷重 P_e が L 個あると仮定せん断荷重 τ_e , $\sin \theta$ が L 個作用している場合を考えると、その解は、 $\theta = \theta_l$ ($0 < \theta_l < \theta_0$) に 1 個の線荷重が作用しているときの解、すなわち、式(11)を式(17)に代入してときの解を L 個重ね合わせることにより得られ、たゞいは、次の通りである。

$$\left. \begin{aligned} 2G\bar{U}_r &= \sum_{l=1}^L \sum_{n=2}^{\infty} \{ r^{n-1} n A_n + r^{n+1} (n+1) (n-2+4\nu) E_n \} P_n(\mu) - 2(1-2\nu) \sum_{l=1}^L E_0 r \\ 2G\bar{U}_{\theta} &= - \sum_{l=1}^L \sum_{n=2}^{\infty} \{ r^n A_n + r^{n+1} (n+5-4\nu) E_n \} P_n^2(\mu) \\ \bar{\sigma}_{rr} &= \sum_{l=1}^L \sum_{n=2}^{\infty} \{ r^{n-2} n(n-1) A_n + r^n (n+1) (n^2-n-2-2\nu) E_n \} P_n(\mu) - 2(1+\nu) \sum_{l=1}^L E_0 \\ \bar{\sigma}_{r\theta} &= - \sum_{l=1}^L \sum_{n=2}^{\infty} \{ r^{n-2} (n-1) A_n + r^n (n^2+2n-1+2\nu) E_n \} P_n^2(\mu). \end{aligned} \right\} \quad \dots (12)$$

上式中の A_n , E_n および E_0 は、式(11)に示したものであり、数式が長くなるので代入していく。

4. 境界条件

図-1 に示したスタン 70° の境界条件は、次の通りである。

$$r = R_2, \quad 0 \leq \theta < \theta_0 \text{ において}$$

$$2U_r = -R_2 (\cos \theta - \cos \theta_0) \cos \theta, \quad U_{\theta} = R_2 (\cos \theta - \cos \theta_0) \sin \theta \quad \dots \dots \dots \dots \dots \dots \dots \quad (13)$$

おそれ

$$r = R_2, \quad \theta_0 < \theta \leq \pi/2 \text{ において}$$

$$\bar{\sigma}_{rr} = 0, \quad \bar{\sigma}_{r\theta} = 0 \quad \dots \dots \dots \quad (14)$$

上式のうち、式(14)の境界条件は、式(11)および式(12)に示した解が、 $0 < \theta_l < \theta_0$ ($l = 1, 2, \dots, L$) の区間にのみ線荷重が作用したときの解であるため、すでに満足されている。式(12)の変位成分に式(13)の境界条件を課すと次式が得られる。

$$\left. \begin{aligned} (R_2/2G) \sum_{l=1}^L \sum_{n=2}^{\infty} P_n(\cos \theta) \{ n A_n R_2^{n-2} + (n+1) x \\ \times (n-2+4\nu) E_n R_2^n \} - 2(1-2\nu) R_2 / (2G) x \\ \times \sum_{l=1}^L E_0 = -R_2 (\cos \theta - \cos \theta_0) \cos \theta \\ - (R_2/2G) \sum_{l=1}^L \sum_{n=2}^{\infty} P_n^2(\cos \theta) \{ A_n R_2^{n-2} + (n+5+ \\ - 4\nu) E_n R_2^n \} = R_2 (\cos \theta - \cos \theta_0) \sin \theta \end{aligned} \right\} \quad \dots \dots \dots \quad (15)$$

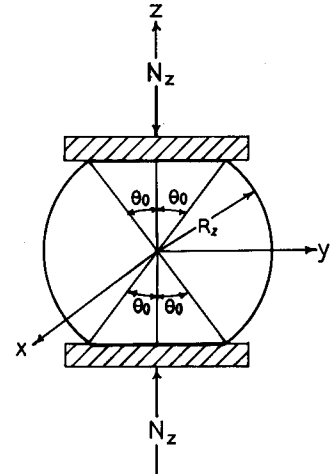


図-1 中突球のスタン 70°

上式に、式(11)を代入して整理してまとめて次の通りである。

$$\left. \begin{aligned} \sum_{l=1}^L \bar{P}_e \sin \theta_l \left\{ \frac{1-2\nu}{2(1+\nu)} + \sum_{n=2}^{\infty} \frac{P_n(\cos \theta)}{(n-1)\Delta_n} P_n(\cos \theta_l) (2n+1) [2n^2-1-\nu(2n^2-n-2)] \right\} + \\ - \sum_{l=1}^L \bar{\theta}_e \sin \theta_l \left\{ \sum_{n=2}^{\infty} \frac{n(n+1)}{(n-1)\Delta_n} P_n(\cos \theta) [P_{n-1}(\cos \theta_l) - P_{n+1}(\cos \theta_l)] [n-2+ \\ - \nu(2n-1)] \right\} = (\cos \theta - \cos \theta_0) \cos \theta \\ \sum_{l=1}^L \bar{P}_e \sin \theta_l \left\{ \sum_{n=2}^{\infty} \frac{P_n^2(\cos \theta)}{(n-1)\Delta_n} P_n(\cos \theta_l) (2n+1) [n-2-\nu(2n-1)] \right\} - \sum_{l=1}^L \bar{\theta}_e \sin \theta_l x \\ \times \left\{ \sum_{n=2}^{\infty} \frac{P_n^2(\cos \theta)}{(n-1)\Delta_n} [P_{n-1}(\cos \theta_l) - P_{n+1}(\cos \theta_l)] [2n^2-n+1-\nu(2n^2-3n+1)] \right\} \end{aligned} \right\} \quad \dots \dots \dots \quad (16a)$$

$$= -(\cos \theta - \cos \theta_0) \sin \theta \quad (\ell=1, 2, \dots; n=2, 4, \dots)$$

ここで、

$$\bar{P}_\ell = \bar{P}_\ell / (GR_2), \quad \bar{x}_\ell = \bar{x}_\ell / (GR_2) \quad \dots \dots \dots \dots \dots \quad (16 \ell)$$

上式は、厳密には、 $0 \leq \theta < \theta_0$ の区間の任意の θ について満足されねばならないが、近似的に、 $0 \leq \theta < \theta_0$ の区間の l 個の θ_k ($k=1, 2, \dots, l$) において満たされたものとすると、次式が得られる。

$$\left. \begin{aligned} \sum_{\ell=1}^l \bar{P}_\ell \sin \theta_\ell \left[\frac{1-2\nu}{2(1+\nu)} + \sum_{n=2}^{\infty} \frac{P_n(\cos \theta_k) P_n(\cos \theta_\ell)}{(n-1)\Delta_n} (2n+1) \{ 2n^2 - 1 - \nu(2n^2 - n - 2) \} \right] \\ + \sum_{\ell=1}^l \bar{x}_\ell (-\sin \theta_\ell) \left\{ \sum_{n=2}^{\infty} \frac{n(n+1)}{(n-1)\Delta_n} P_n(\cos \theta_k) \{ P_{n-1}(\cos \theta_\ell) - P_{n+1}(\cos \theta_\ell) \} \{ n + 2 - \nu(2n - 1) \} \right\} = (\cos \theta_k - \cos \theta_0) \cos \theta_k \\ \sum_{\ell=1}^l \bar{P}_\ell \sin \theta_\ell \left[\sum_{n=2}^{\infty} \frac{P_n^2(\cos \theta_k) P_n(\cos \theta_\ell)}{(n-1)\Delta_n} (2n+1) \{ n - 2 - \nu(2n - 1) \} \right] \\ + \sum_{\ell=1}^l \bar{x}_\ell (-\sin \theta_\ell) \left\{ \sum_{n=2}^{\infty} \frac{P_n^2(\cos \theta_k)}{(n-1)\Delta_n} \{ P_{n-1}(\cos \theta_\ell) - P_{n+1}(\cos \theta_\ell) \} \{ 2n^2 - n + 1 - \nu(2n^2 - 3n - 1) \} \right\} = -(\cos \theta_k - \cos \theta_0) \sin \theta_k \end{aligned} \right\} \quad (\ell=1, 2, \dots, l; k=1, 2, \dots, l; n=2, 4, \dots) \quad (17)$$

上式は、 \bar{P}_ℓ および \bar{x}_ℓ を未知量とする 2 次元連立 1 次方程式であるが、 $\theta_k = \theta_\ell = 0$ において特異となるので、 $0 + \varepsilon' \leq \theta_k \leq \theta_0$ 、 $0 + \varepsilon' \leq \theta_\ell \leq \theta_0$ において満たされたものとする。上式を解いて、それそれ、 l 個の \bar{P}_ℓ および \bar{x}_ℓ が求められれば、式 (16 ℓ) および式 (11) より、それそれ ($N+l$) 個の A_n, E_n および l 個の E_0 が求められ、式 (12) により、変位および応力成分が数値的に求められることになる。 $r=R_2$ 、 $0 \leq \theta \leq \theta_0$ における 2 方向の合力 R_z は、 $R_z/G = R_2^2 F_z$ 、 \therefore $F_z = (2\pi/G) \int_{\cos \theta_0}^{r_1} \{ (\sigma_{rr})_{r=R_2} \times \cos \theta - (\sigma_{\theta\theta})_{r=R_2} \sin \theta \} d\mu$ により求められ、正縮力を正とした N_z は、 $N_z/G = -R_z/G = -F_z/R_2$ と表わされる。 F_z は、式 (12) に示した σ_{rr} および $\sigma_{\theta\theta}$ の $r=R_2$ における値を代入して、厳密に数式の上で積分されるが、(紙面数に限り) があるため、その表示は省略する。

5. 数値計算例

数値計算例として、 $\theta_0 = \pi/16$ 、 $\varepsilon' = 0.005$ 、 $l = 80$ および ν の整数 N は 90 とし、ポアソン比 ν を種々変えて計算した。この解析においては、図-1 に示したように、球の表面の $0 \leq \theta < \theta_0$ において変位成分が規定されているので、剛性平面と球との接触面の半径 a およびたわみ w は、

$$a = R_2 \sin \theta_0, \quad w = R_2 (1 - \cos \theta_0) \quad \dots \dots \dots \dots \dots \quad (18)$$

と表わされる既知量であるが、Hertz の公式を用いて

$$\left. \begin{aligned} a = R_2 \sin \theta_0 = \alpha \{ 3(1-\nu) R_2 N_z / (8G) \}^{1/2} \\ w = R_2 (1 - \cos \theta_0) = \beta \times 2 \{ 3(1-\nu) N_z / (8G\sqrt{R_2}) \}^{2/3} \end{aligned} \right\} \quad \dots \dots \dots \dots \dots \quad (19a)$$

表-1 Hertz の公式との比較

ν	$-F_z$	α	β
0.00	0.0189	1.01	0.260
0.20	0.0209	1.06	0.282
0.25	0.0222	1.06	0.283
0.30	0.0222	1.08	0.296
0.40	0.0256	1.08	0.298
0.45	0.0282	1.08	0.296

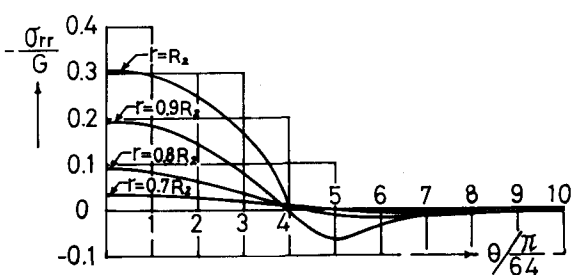


図-2 σ_{rr} の分布 ($\nu=0.25$)

ここで、

$$d = \sin \theta_0 \left[\frac{3(1-\nu)(-F_2)/8}{\beta} \right]^{1/3}, \quad \beta = (1 - \cos \theta_0)/2 \left[\frac{3(1-\nu)(-F_2)/8}{d} \right]^{-2/3} \dots \dots \quad (19)$$

と表わし、式(19)よりのおどり β を求めて、 $d = 1.0$ および $\beta = 0.5$ になるとがいなかを照合したのが、表-1である。表-1に示されているように、種々のボアソン比に対し、 d はほぼ 1.0 に等しいが β はほぼ 0.3 となるており、接触面における摩擦の存在が、たわみに大きな影響を及ぼしていることがわかる。図-2には、 σ_{rr} の分布を示した。ドラム方向において減衰が著しく、 $0 \leq r \leq 0.5R_2$ においては、ほぼ 0 となる。また、 $r = R_2$ の $\theta = \theta_0 = \pi/16$ における値がほぼ 0 となっていものは、さわめて興味深い。図-3には、 $\sigma_{\theta\theta}$ の分布を示した。 $r = R_2$ における分布は、その性状は把握できらか、値には若干の誤差を含んでいようと判断したので除外した。 $\theta = \theta_0 = \pi/16$ の近傍において大きな圧縮応力を示すのは興味ある。

図-4には、 σ_{yy} の分布を示した。この図においても、 $r = R_2$ における分布は、図-3と同じ理由により、除外してある。 $r = 0.9R_2$ の $\theta = \theta_0 = \pi/16$ の近くにおいて比較的大きな引張応力を示しているが、 σ_{yy} よりは小さな値であり、また、圧縮応力にならないという特徴を示している。図-5には、 σ_{rr} の分布を示した。 σ_{rr} に比較すると、 $1/3$ 程度の小さな値であるが、ドラム方向において減衰は、 σ_{rr} に比較して幾分遅く、 $0 \leq r \leq 0.4R_2$ においてほぼ 0 となる。 $r = R_2$ の $\theta = \theta_0 = \pi/16$ における値は、本研究の近似解析による限りでは、連続して 0 とならず、不連続性を示している。この近似解析においては、 $0 \leq \theta < \theta_0$ の区間における変位成分に関する境界条件が近似的に満足されていること、あるいは、線垂直荷重および線せん断荷重の Legendre 展開による多項式および階関数の収束が遅いことなどが原因となって生じた数値計算上の誤差が不連続を値となって現われたのか、あるいは、直に不連続な値を示すのかは、厳密な三次元解析をまたねば明確にされないようである。図-6には、 $r = R_2$ において規定された変位成分の値が微少であるとして、圧縮前の $r = R_2$ における θ 方向の応力を

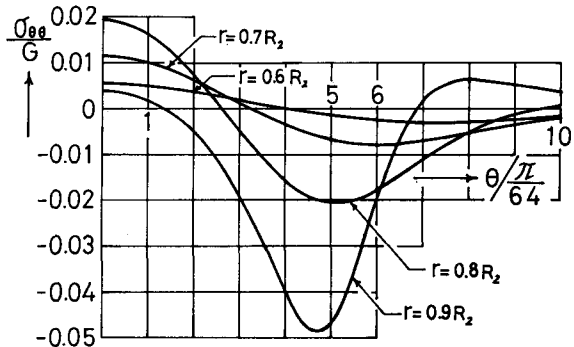


図-3 $\sigma_{\theta\theta}$ の分布 ($\nu=0.25$)

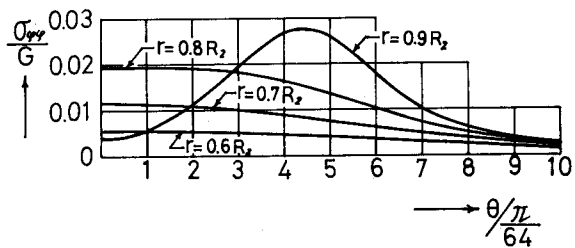


図-4 σ_{yy} の分布 ($\nu=0.25$)

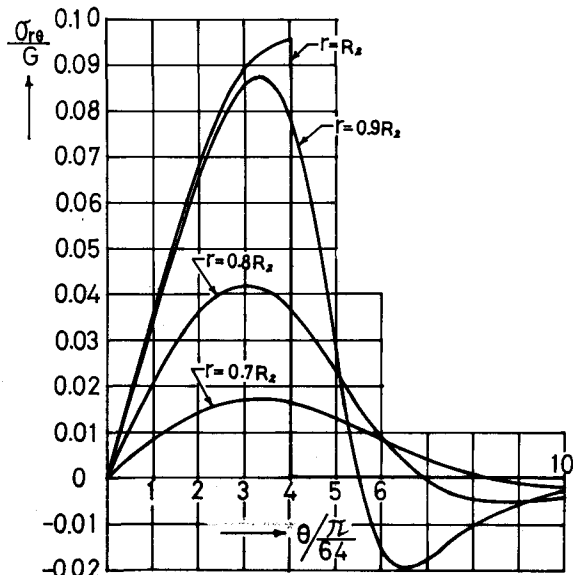


図-5 σ_{rr} の分布 ($\nu=0.25$)

$$P/G = (\sigma_{rr}/G) r=R_2 \cos \theta + (\sigma_{\theta\theta}/G) r=R_2 \sin \theta \dots \dots \dots (20)$$

より求め、その分布を示した。 $\theta = \theta_0 = \pi/16$ においては、図-5に示した $\sigma_{\theta\theta}$ の $\theta = \theta_0 = \pi/16$ の円周上における不連続な値により、連續して0とはならず、小さな値ではあるが、不連続性を示している。

6. 結 語

厳密な解析がなかなか困難とされてから中実球のスタンプの解析を、変位成分に関する境界条件のみが近似的に満たされる1つの半解析法により

行った。本研究は、第1章において述べたように、中実球の接触問題の解析を直接の目的とはしていなか、たゞスタンプの解析を通して、たとえば、表-1は、少なくとも、接触面に摩擦のある場合には、Hertzの理論の適用が必ずかしいことを示している結果としておもて興味深い。また、接触面に摩擦の存在しない場合においても、文献2)に見受けられるようにHertzの理論に含まれている仮定の補正あるいは非線形弾性論による解析結果との不一致をじかに報告されており、Hertzの理論の適用性については、現時点においても、あまり明確にされていないようである。本研究の目的である粗い剛性平面で圧縮された粗い表面を持つ中実球の応力性状は、図-2から図-6を通して明らかにされたと言えているが、図-1に示した $\sigma_{\theta\theta}$ の $r=R_2$, $\theta=\theta_0 = \pi/16$ における不連続性は、今後さらに精密を計算を行い検討する必要があると言えている。粗い表面を持つ、2つの球の接触問題に関する文献3)においては、円柱座標系に変換されたせん断応力 σ_{rz} が、式上では、接触面の境界において特異性を示すにもかかわらず、図には、境界において0と表示されており、本研究における $\sigma_{\theta\theta}$ とは、座標系が異なるとしても、摩擦がある場合の接触面の境界における応力の値は、詳細を吟味が必要と言えられる。

謝 辞 本研究は、中実球の接触問題に関する能町純雄教授(北海道大学工学部土木工学科)との談話の中で接触問題の1つの基本的課題として、同教授により提示されたテーマである。記して深謝する次第です。

参考文献

- 1) ランダウ＝リフシツ(佐藤常三訳)：弾性理論, pp. 37-42, 東京図書, 1972.
- 2) Deresiewicz, H. : A note on second-order Hertz contact, J. Appl. Mech., Vol. 28, No. 1, pp. 141-142, 1961.
- 3) Goodman, L. E. : Contact stress analysis of normally loaded rough spheres, J. Appl. Mech., Vol. 29, No. 3, pp. 515-522, 1962.
- 4) Torvik, P. J. : Note on the boundary conditions for contact problems, J. Appl. Mech., Vol. 34, No. 3, pp. 761-763, 1967.
- 5) Greenwood, J. A. and J. H. Tripp : The elastic contact of rough spheres, J. Appl. Mech., Vol. 34, No. 1, pp. 153-159, 1967.
- 6) Hughes, B. D. and L. R. White : Analytic approximations for the elastic contact of rough spheres, J. Appl. Mech., Vol. 47, No. 1, pp. 194-196, 1980.
- 7) たとえば, Lur'e, A. I. : Three-Dimensional Problems of the Theory of Elasticity, pp. 325-379, Interscience Pub., 1964.
- 8) 奥村 勇: 球殻の等温弹性問題ならびに熱応力問題の一解法について, 土木学会論文報告集, No. 307, pp. 1-15, 1981.

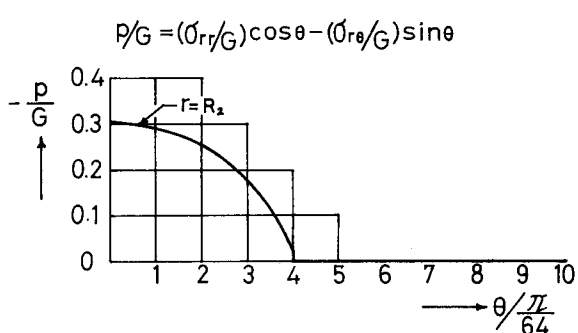


図-6 表面における θ 方向の応力分布
($\nu=0.25$)